

МЕХАНИКА ВЗАИМОДЕЙСТВИЯ РЕЖУЩЕГО ЗЕРНА С МАТЕРИАЛОМ ПРИ СТРУЙНО-АБРАЗИВНОЙ ОБРАБОТКЕ

Новиков Ф.В., докт. техн. наук, **Андилахай А.А.**, канд. техн. наук
(г. Харьков, г. Мариуполь, Украина)

We justify the laws of mechanics of interaction of the cutting grain with the material in the abrasive blasting

Струйно-абразивная обработка находит все более широкое применение в машиностроении [1, 2]. Однако вопросы механики процесса изучены недостаточно полно. Поэтому целью работы является обоснование закономерностей механики взаимодействия режущего зерна с материалом при струйно-абразивной обработке. Установим характер движения абразивного зерна массой m под действием возникающей в процессе съема обрабатываемого материала силы резания P [3]. Будем считать, что зерно движется с начальной скоростью V_0 в направлении оси oz , рис. 1. Тогда уравнения движения абразивного зерна во времени τ в направлениях осей oz и oy под действием тангенциальной P_z и радиальной P_y составляющих силы резания опишутся следующим образом:

$$\begin{cases} m \cdot \ddot{z}(\tau) = -P_z; \\ m \cdot \ddot{y}(\tau) = P_y, \end{cases} \quad (1)$$

где $\ddot{z}(\tau)$ и $\ddot{y}(\tau)$ – соответственно ускорения движения абразивного зерна в направлениях осей oz и oy , м/с^2 .

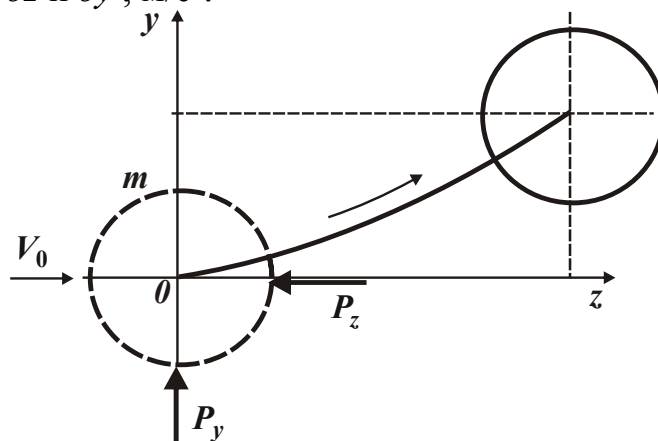


Рис. 1. Расчетная схема траектории движения абразивного зерна в обрабатываемом материале.

Решения дифференциальных уравнений (1) общеизвестны:

$$\begin{cases} z(\tau) = -\frac{P_z}{m} \cdot \frac{\tau^2}{2} + C_1 \cdot \tau + C_2; \\ y(\tau) = \frac{P_y}{m} \cdot \frac{\tau^2}{2} + C_3 \cdot \tau + C_4, \end{cases} \quad (2)$$

где C_1, C_2, C_3, C_4 – постоянные интегрирования, определяются из следующих начальных условий:

$$\begin{cases} z(\tau = 0) = 0; \\ \dot{z}(\tau = 0) = V_0, \end{cases} \quad \begin{cases} y(\tau = 0) = 0; \\ \dot{y}(\tau = 0) = 0. \end{cases} \quad (3)$$

Подчиняя полученные решения (2) начальным условиям (3), имеем

$$\begin{cases} z(\tau) = -\frac{P_z}{m} \cdot \frac{\tau^2}{2} + V_0 \cdot \tau; \\ y(\tau) = \frac{P_y}{m} \cdot \frac{\tau^2}{2}. \end{cases} \quad (4)$$

Как видно, в направлении оси ou с течением времени τ абразивное зерно движется равноускоренно с ускорением P_y/m , а в направлении оси oz – равнозамедленно с ускорением $-P_z/m$. При выполнении условия $\dot{z}(\tau) = 0$ абразивное зерно остановится. Время τ и длина пути зерна в металле z до момента его остановки равны

$$\tau = \frac{m \cdot V_0}{P_z}; \quad z = \frac{m \cdot V_0^2}{2 \cdot P_z}. \quad (5)$$

Время τ и длина пути зерна в металле z тем больше, чем больше начальная скорость зерна V_0 и меньше ускорение его равнозамедленного движения P_z/m . Длина пути зерна в металле y до момента его остановки определится подстановкой зависимости (5) во второе уравнение системы (4):

$$y = \frac{m \cdot V_0^2}{2 \cdot P_z} \cdot \frac{1}{K_{uz}} = \frac{z}{K_{uz}}, \quad (6)$$

где $K_{uz} = P_z/P_y$.

При условии $K_{uz} < 1$ координата y абразивного зерна будет больше координаты z , а при $K_{uz} > 1$, наоборот. Следовательно, увеличивая коэффициент K_{uz} , можно уменьшить координату y и соответственно повысить эффективность процесса резания. Разрешая второе уравнение системы (4) относительно времени τ и подставляя полученное выражение в первое уравнение, установим в общем виде связь между координатами z и y абразивного зерна в процессе резания:

$$z = -K_{uz} \cdot y + V_0 \cdot \sqrt{\frac{2m \cdot y}{P_y}}. \quad (7)$$

Приведенное выше решение дает общее представление о характере движения абразивного зерна массой m в процессе его взаимодействия с обрабаты-

ваемым материалом под действием неизменяющихся (постоянных) во времени составляющих силы резания P_z и P_y . В действительности, составляющие силы резания зависят от фактической толщины среза, которая в связи с перемещением абразивного зерна вдоль оси ou будет изменяться. Исходя из этого, составляющие силы резания P_z и P_y определяются:

$$\begin{cases} P_z = v \cdot (a - y) \cdot \sigma; \\ P_y = \frac{v \cdot (a - y) \cdot \sigma}{K_{uu}}, \end{cases} \quad (8)$$

где a , v – толщина и ширина среза, м; σ – условное напряжение резания, Н/м².

В первом приближении будем считать, что σ – постоянная величина. Тогда уравнение движения абразивного зерна в направлении оси ou примет вид

$$m \cdot \ddot{y} = \frac{v \cdot (a - y) \cdot \sigma}{K_{uu}} \quad \text{или} \quad \ddot{y} + k^2 \cdot y = \frac{v \cdot a \cdot \sigma}{m \cdot K_{uu}}, \quad (9)$$

где $k^2 = \frac{v \cdot \sigma}{m \cdot K_{uu}}$.

Частное решение дифференциального уравнения (9): $y = A$, где $A = a$.

Общее решение дифференциального уравнения (9):

$$y = C_1 \cdot \sin k\tau + C_2 \cdot \cos k\tau + a, \quad (10)$$

где C_1, C_2 – постоянные интегрирования, определяются из начальных условий (3).

Подчиняя полученное решение (10) начальным условиям (3), имеем

$$y = a \cdot (1 - \cos k\tau). \quad (11)$$

Графически зависимость (11) показана на рис. 2,а. Как видно, с течением времени τ координата y абразивного зерна изменяется по гармоническому закону, увеличиваясь в диапазоне $k\tau = 0 \dots \pi$ от 0 до $2a$. Очевидно, в реальных условиях координата y не может превышать толщину среза a . Поэтому решением дифференциального уравнения (9) является диапазон изменения величины $k\tau = 0 \dots \pi/2$. При условии $k\tau = \pi/2$ абразивное зерно выходит из контакта с обрабатываемым материалом. Тогда время τ зерна в обрабатываемом материале определится зависимостью

$$\tau = \frac{\pi}{2k} = \frac{\pi}{2} \cdot \sqrt{\frac{m \cdot K_{uu}}{v \cdot \sigma}}. \quad (12)$$

Время τ тем больше, чем больше масса абразивного зерна m , коэффициент $K_{uu} = P_z / P_y$ и меньше ширина среза v и условное напряжение резания σ . Скорость перемещения абразивного зерна $\dot{y}(\tau)$ в обрабатываемом материале в направлении оси ou , исходя из зависимости (11), подчиняется синусоидальному закону: $\dot{y}(\tau) = a \cdot k \cdot \sin k\tau$, рис. 2,б. При изменении угла $k\tau$ в пределах $0 \dots \pi/2$ скорость $\dot{y}(\tau)$ возрастает. Следовательно, при контакте абразивного зерна с обрабатываемым материалом скорость $\dot{y}(\tau)$ изменяется в пределах от 0 до максимального значения $a \cdot k$, что обусловлено действием “выталкивающей” силы

P_y . Зная характер изменения координаты y во времени, можно по зависимости (8) определить силы резания P_z и P_y :

$$\begin{cases} P_z = v \cdot a \cdot \sigma \cdot \cos k\tau; \\ P_y = \frac{v \cdot a \cdot \sigma \cdot \cos k\tau}{K_{uu}}. \end{cases} \quad (13)$$

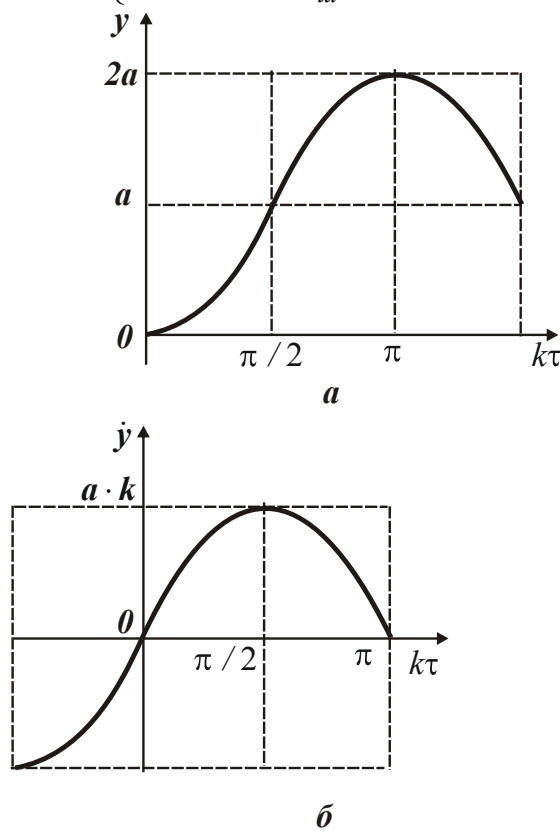


Рис. 2. Характер изменения координаты y (а) и скорости \dot{y} (б) абразивного зерна с течением времени обработки τ .

Как видно, составляющие силы резания P_z и P_y изменяются по закону косинуса, т.е. в начальный момент времени они принимают максимальные значения, а затем уменьшаются вплоть до нуля (при $k\tau = \pi/2$) в момент выхода абразивного зерна из контакта с обрабатываемым материалом.

Учитывая переменный характер составляющих силы резания во времени, уточним полученное выше решение (2) для условия $P_z = const$. Дифференциальное уравнение движения абразивного зерна в направлении оси oz с учетом зависимости (13) примет вид

$$m \cdot \ddot{z} = -a \cdot v \cdot \sigma \cdot \cos k\tau. \quad (14)$$

Частное решение уравнения (14) будем искать в виде $z = A_1 \cdot \cos k\tau$, где A_1 – неопределенная величина. Подставим данное решение в уравнение (14):

$$A_1 = a \cdot K_{uu}. \quad (15)$$

Общее решение уравнения (14): $z = C_1 \cdot \tau + C_2 + A_1 \cdot \cos k\tau$, где C_1, C_2 – постоянные интегрирования, определяются из начальных условий

(3). Подчиняя полученное решение начальным условиям (3), получим: $C_1 = V_0; C_2 = -a \cdot K_{ш}$. Тогда

$$z = V_0 \cdot \tau - a \cdot K_{ш} \cdot (1 - \cos k\tau); \quad \dot{z} = V_0 - a \cdot K_{ш} \cdot k \cdot \sin k\tau. \quad (16)$$

Как видно, с течением времени τ скорость движения абразивного зерна $\dot{z}(\tau)$ в направлении оси oz в диапазоне $0 < k\tau < \pi/2$ уменьшается, рис. 3. Таким образом показано, что с течением времени τ скорость движения абразивного зерна $\dot{y}(\tau)$ увеличивается, а скорость $\dot{z}(\tau)$, наоборот, уменьшается вплоть до нуля. В итоге зерно под действием “выталкивающей” силы P_y стремится выйти из контакта с обрабатываемым материалом. При условии $\dot{z}(\tau) = 0$ абразивное зерно остановится. Исходя из данного условия с учетом зависимости (16), определим время контакта абразивного зерна с обрабатываемым материалом:

$$\sin k\tau = \frac{V_0}{a} \cdot \sqrt{\frac{m}{v \cdot \sigma \cdot K_{ш}}} \quad \text{или} \quad k\tau = \arcsin \frac{V_0}{a} \cdot \sqrt{\frac{m}{v \cdot \sigma \cdot K_{ш}}}. \quad (17)$$

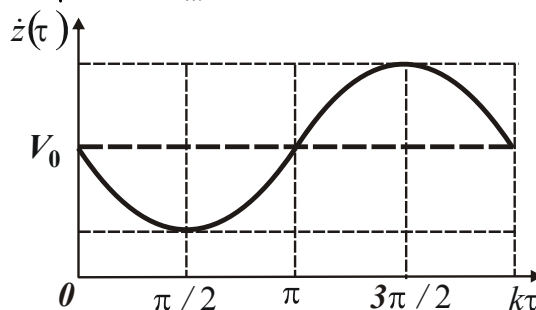


Рис. 3. Характер изменения скорости $\dot{z}(\tau)$ движения абразивного зерна с течением времени обработки τ .

Из зависимости (24) следует, что чем больше V_0 , m и меньше a , v , $K_{ш}$, σ , тем больше $k\tau$, т.е. время контакта абразивного зерна с обрабатываемым материалом и соответственно выше эффективность процесса обработки. При $k\tau < \pi/2$, исходя из рис. 2, абразивное зерно остановится в обрабатываемом материале. При $k\tau > \pi/2$, наоборот, кинетической энергии абразивного зерна будет достаточно, чтобы выйти из контакта с обрабатываемым материалом без остановки и осуществить полный срез обрабатываемого материала.

Произведем расчет величины $k\tau$ для следующих исходных данных: $V = 30$ м/с; $a = 3$ мкм; $\sigma = 1000$ кГс/мм²; $K_{ш} = 0,5$. Массу абразивного зерна m определим по зависимости $m = \rho \cdot v$, где ρ – плотность абразивного материала (для алмаза $\rho = 3,5$ г/см³); $v = \pi \cdot D^3 / 6$ – объем абразивного зерна (в форме шара диаметром D). Примем $D = 50$ мкм. Ширину среза v , образованном абразивным зерном в форме шара радиусом R (рис. 4), определим по зависимости $v = 2 \cdot \sqrt{R^2 - (R - a)^2} \approx 2 \cdot \sqrt{2R \cdot a} = 2 \cdot \sqrt{D \cdot a}$. Подставляя исходные данные в зависимость (17), получено $\sin k\tau = 0,432$, соответственно $k\tau \approx 26^\circ$. Следовательно, справедливо условие $k\tau < \pi/2$ и абразивное зерно остановится в обрабатываемом материале, образуя неполный срез.

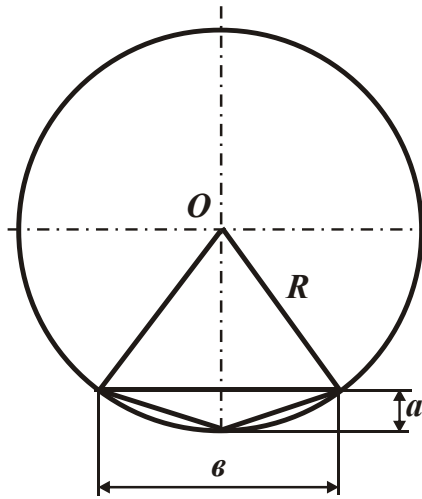


Рис. 4. Расчетная схема параметров среза абразивным зерном.

Необходимо отметить, что данный расчет является упрощенным, т.к. в нем при получении зависимостей (8) для определения составляющих силы резания P_z и P_y толщина и ширина среза рассматривались не взаимосвязанными. В действительности, исходя из приведенной выше зависимости, эти параметры связаны нелинейной зависимостью. Тогда площадь среза равна $S = 0,5 \cdot a \cdot b = a \cdot \sqrt{D \cdot a}$. С учетом перемещения абразивного зерна в направлении оси ou площадь среза выразится $S = D^{0,5} \cdot (a - y)^{1,5}$. Соответственно, P_z и P_y , определяемые зависимостями (8), примут вид

$$\begin{cases} P_z = (a - y)^{1,5} \cdot D^{0,5} \cdot \sigma; \\ P_y = \frac{(a - y)^{1,5} \cdot D^{0,5} \cdot \sigma}{K_{uu}}. \end{cases} \quad (18)$$

Уравнение движения абразивного зерна в направлении оси ou примет вид

$$m \cdot \ddot{y} = \frac{(a - y)^{1,5} \cdot D^{0,5} \cdot \sigma}{K_{uu}}. \quad (19)$$

В итоге пришли к нелинейному дифференциальному уравнению второго порядка. Чтобы его решить, выполним подстановку $y_1 = a - y$, где y_1 – новая переменная. Тогда уравнение (19) выразится

$$\ddot{y}_1 + k_1^2 \cdot y_1^{1,5} = 0, \quad (20)$$

где $k_1^2 = \frac{D^{0,5} \cdot \sigma}{m \cdot K_{uu}}$.

В работе [4] приведено решение данного класса нелинейных дифференциальных уравнений, имеющих вид

$$\ddot{y}_1 + k_1^2 \cdot y_1^n = 0, \quad (21)$$

где n – переменная величина.

Для решения уравнения (21) вводится новая переменная $p = \frac{dy_1}{d\tau}$, тогда

$\frac{d^2 y_1}{d^2 \tau} = p \cdot \frac{dp}{dy_1}$ и (21) запишется $\frac{1}{k_1^2} \cdot p \cdot dp = -y_1^n \cdot dy_1$. После интегрирования,

имеем $\frac{1}{k_1^2} \cdot \frac{p^2}{2} = -\frac{1}{1+n} \cdot y_1^{1+n} + C_1$ или $\frac{p}{k_1} = \sqrt{C_2^2 - \frac{2}{1+n} \cdot y_1^{1+n}}$, где $C_2^2 = 2 \cdot C_1$;

C_1 – постоянная интегрирования, определяется из начального условия.

Представляя $p = \frac{dy_1}{d\tau}$, получим уравнение: $\frac{1}{k_1} \cdot \frac{dy_1}{d\tau} = \sqrt{C_2^2 - \frac{2}{1+n} \cdot y_1^{1+n}}$. Ин-

тегрируя его, получим $\sqrt{\frac{2 \cdot y_1^{1+n}}{(1+n) \cdot C_2^2}} = \sin(k_1 \tau + C_3)$, где C_3 – постоянная интегри-

рования, определяется из начального условия. Откуда

$y_1 = \left[\frac{(1+n) \cdot C_2^2}{2} \right]^{\frac{1}{1+n}} \cdot \sin^{\frac{2}{1+n}}(k_1 \tau + C_3)$. В нашем случае $n=1,5$. Тогда зависимость

примет вид $y_1 = \left[\frac{2,5 \cdot C_2^2}{2} \right]^{0,4} \cdot \sin^{0,8}(k_1 \tau + C_3)$. С учетом $y_1 = a - y$, имеем

$y = a - \left[\frac{2,5 \cdot C_2^2}{2} \right]^{0,4} \cdot \sin^{0,8}(k_1 \tau + C_3)$. Постоянные интегрирования C_2 и C_3 опре-

делим из начальных условий (3): $C_2^2 = \frac{a^{2,5}}{1,25}$; $C_3 = \frac{\pi}{2}$. Окончательно имеем

$$y = a \cdot (1 - \cos^{0,8} k_1 \tau). \quad (22)$$

В итоге пришли к зависимости, близкой к аналогичной зависимости (11), полученной без учета взаимосвязи параметров a и v . Следовательно, нелинейность дифференциального уравнения (20) не вносит принципиальных изменений в характер перемещения обрабатываемого зерна в обрабатываемом материале. Поэтому с достаточной для практики точностью можно пользоваться упрощенным решением (11).

Рассмотрим случай резания абразивным зерном, движущимся с начальной скоростью V_0 и входящим в обрабатываемый материал под некоторым углом α . В процессе резания на зерно действуют тангенциальная P_z и радиальная P_y составляющие силы резания. Определим траекторию движения зерна в обрабатываемом материале. Составляющие силы резания P_z и P_y , описываемые зависимостями (8), с учетом $a = \operatorname{tg} \alpha \cdot z$ представим в виде

$$\begin{cases} P_z = v \cdot (\operatorname{tg} \alpha \cdot z - y) \cdot \sigma; \\ P_y = \frac{v \cdot (\operatorname{tg} \alpha \cdot z - y) \cdot \sigma}{K_{\text{ш}}} \end{cases} \quad (23)$$

В данном случае P_z и P_y зависят от двух координат: y и z . Движение абразивного зерна в обрабатываемом материале описывается системой дифференциальных уравнений (1). Подставляя зависимости (23) в (1), имеем

$$\begin{cases} m \cdot \ddot{z} + \varepsilon \cdot \sigma \cdot \operatorname{tg} \alpha \cdot z = \varepsilon \cdot \sigma \cdot y; \\ m \cdot \ddot{y} + \frac{\varepsilon \cdot \sigma}{K_{uu}} \cdot y = \frac{\varepsilon \cdot \sigma \cdot \operatorname{tg} \alpha}{K_{uu}} \cdot z. \end{cases} \quad (24)$$

В итоге пришли к сложным дифференциальным уравнениям, содержащим по две неизвестные величины y и z . Для того чтобы привести уравнения к одной неизвестной, умножим второе уравнение на коэффициент K_{uu} и просуммируем первое и второе уравнения. В результате получим $\ddot{z} + K_{uu} \cdot \ddot{y} = 0$. Интегрируя уравнение с учетом начальных условий (3), имеем

$$\begin{cases} \dot{z} + K_{uu} \cdot \dot{y} = V_0; \\ z + K_{uu} \cdot y = V_0 \cdot \tau. \end{cases} \quad (25)$$

Откуда $z = V_0 \cdot \tau - K_{uu} \cdot y$; $\dot{z} = -K_{uu} \cdot \dot{y}$. Подставим эти выражения в первое уравнение системы (24): $m \cdot K_{uu} \cdot \ddot{y} + \varepsilon \cdot \sigma \cdot \operatorname{tg} \alpha \cdot (V_0 \cdot \tau - K_{uu} \cdot y) = \varepsilon \cdot \sigma \cdot y$ или

$$\ddot{y} + k^2 \cdot y = \frac{\varepsilon \cdot \sigma \cdot \operatorname{tg} \alpha \cdot V_0}{m \cdot K_{uu}} \cdot \tau, \quad (26)$$

где $k^2 = \frac{\varepsilon \cdot \sigma \cdot (1 + \operatorname{tg} \alpha \cdot K_{uu})}{m \cdot K_{uu}}$.

Частное решение дифференциального уравнения (26): $y = A \cdot \tau$. Подставляя его в дифференциальное уравнение (26), имеем $A = \frac{V_0 \cdot \operatorname{tg} \alpha}{(1 + \operatorname{tg} \alpha \cdot K_{uu})}$.

Общее решение дифференциального уравнения (26) общеизвестно: $y = C_1 \cdot \sin k\tau + C_2 \cdot \cos k\tau + A \cdot \tau$, где C_1, C_2 – постоянные интегрирования, определяются из начальных условий (3): $C_1 = -A/k$ и $C_2 = 0$. Тогда

$$y = A \cdot \left(\tau - \frac{1}{k} \cdot \sin k\tau \right); \quad \dot{y} = A \cdot (1 - \cos k\tau). \quad (27)$$

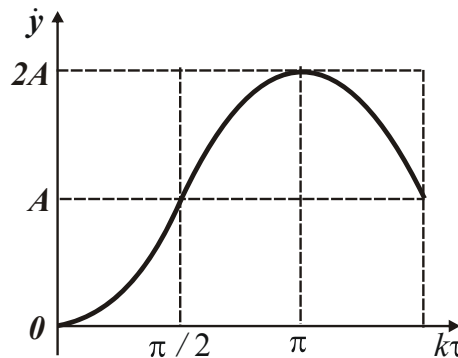


Рис. 5. Зависимость скорости движения \dot{y} абразивного зерна от угла $k\tau$.

С течением времени τ скорость \dot{y} увеличивается в диапазоне $k\tau \leq \pi$, рис. 5. Характер изменения координаты z и \dot{z} определим на основе (25) и (27):

$$z = \frac{V_0}{(1 + \operatorname{tg} \alpha \cdot K_w)} \cdot \left(\tau - \frac{\operatorname{tg} \alpha \cdot K_w}{k} \cdot \sin k\tau \right); \quad \dot{z} = \frac{V_0}{(1 + \operatorname{tg} \alpha \cdot K_w)} \cdot (1 + \operatorname{tg} \alpha \cdot K_w \cdot \cos k\tau). \quad (28)$$

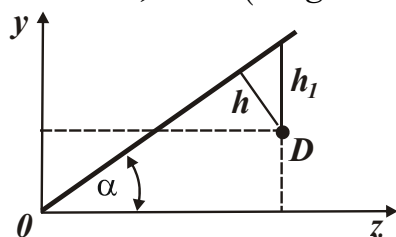


Рис. 6. Расчетная схема глубины внедрения абразивного зерна в обрабатываемый материал h .

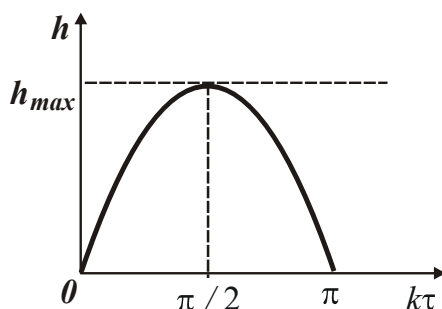


Рис. 7. Зависимость глубины внедрения абразивного зерна в обрабатываемый материал h от угла $k\tau$.

Определим глубину внедрения абразивного зерна в обрабатываемый материал h , для чего воспользуемся зависимостью $h = h_1 \cdot \cos \alpha$, полученной на основе расчетной схемы, показанной на рис. 6, с учетом $h_1 = z \cdot \operatorname{tg} \alpha - y$. С учетом зависимостей (27) и (28), имеем

$$h = \frac{V_0 \cdot \sin \alpha}{k} \cdot \sin k\tau. \quad (29)$$

В результате пришли к довольно простой зависимости, из которой следует синусоидальный закон изменения глубины h с течением времени τ контакта абразивного зерна с обрабатываемым материалом, рис. 7. Очевидно, максимальное значение h достигается при условии $k\tau = \pi/2$, а наименьшее $h=0$ – в момент выхода зерна из контакта с материалом (при $k\tau = \pi$). Тогда

$$h_{\max} = V_0 \cdot \sin \alpha \cdot \sqrt{\frac{m \cdot K_w}{6 \cdot \sigma \cdot (1 + \operatorname{tg} \alpha \cdot K_w)}}. \quad (30)$$

Условное напряжение резания σ определяется зависимостью, приведенной в нашей работе [4] для случая, когда передний угол режущего инструмента $\gamma=0$:

$$\sigma = \frac{2 \cdot \tau_{\text{сдв}} \cdot \cos \psi \cdot \cos \alpha}{[1 - \sin(\alpha + \psi)]}, \quad (31)$$

где $\tau_{\text{сдв}}$ – предел прочности на сдвиг обрабатываемого материала, Н/м²; ψ – условный угол трения режущего инструмента (абразивного зерна) с обрабатываемым материалом; $\operatorname{tg} \psi = f$ – коэффициент трения абразивного зерна с обрабатываемым материалом.

Подставляя зависимость (31) в (29) с учетом $K_{uu} = ctg\psi$ [4], имеем

$$h_{max} = V_0 \cdot \sin \alpha \cdot \sqrt{\frac{m}{2 \cdot b \cdot \tau_{сдв}} \cdot \left[\frac{1}{\sin(\alpha + \psi)} - 1 \right]}. \quad (32)$$

Как видно, максимальная глубина внедрения абразивного зерна в обрабатываемый материал h_{max} тем больше, чем больше начальная скорость движения абразивного зерна V_0 , его масса m и меньше ширина среза b и предел прочности на сдвиг обрабатываемого материала $\tau_{сдв}$. Угол входа зерна в обрабатываемый материал α неоднозначно влияет на h_{max} . За счет увеличения $\sin \alpha$ глубина h_{max} будет увеличиваться, а при достижении условия $\sin(\alpha + \psi) = 1$ справедливо $h_{max} = 0$, т.е. имеет место экстремум (максимум) глубины h_{max} от угла α . Для его определения подчиним функцию h_{max} необходимому условию экстремума: $(h_{max})'_{\alpha} = 0$. В итоге получено тригонометрическое уравнение:

$$1 - \sin(\alpha + \psi) = \frac{tg \alpha}{tg(\alpha + \psi)}. \quad (33)$$

Расчетами установлено, что при $\psi = 30^0$ экстремальное значение угла $\alpha = 16^0$. Как видно, максимальная глубина внедрения абразивного зерна в обрабатываемый материал h_{max} достигается при относительно небольшом угле α . При $\alpha > 16^0$ параметр h уменьшится.

Представляет интерес анализ координаты экстремальной точки D , в которой реализуется максимальное значение глубины внедрения абразивного зерна в обрабатываемый материал h_{max} . Для этого в зависимости (27) и (28) подставим значение $k\tau = \pi / 2$. Тогда

$$y = \frac{0,57 \cdot V_0 \cdot tg \alpha}{k \cdot (1 + tg \alpha \cdot K_{uu})}; \quad z = \frac{V_0}{k \cdot (1 + tg \alpha \cdot K_{uu})} \cdot \left(\frac{\pi}{2} + tg \alpha \cdot K_{uu} \right);$$

$$\dot{y} = \frac{V_0 \cdot tg \alpha}{(1 + tg \alpha \cdot K_{uu})}; \quad \dot{z} = \frac{V_0}{(1 + tg \alpha \cdot K_{uu})}; \quad \frac{\dot{y}}{\dot{z}} = tg \alpha. \quad (63)$$

Как видно, скорость движения абразивного зерна \dot{y} в направлении оси oy меньше скорости движения абразивного зерна \dot{z} в направлении оси oz . В табл. 1 приведены рассчитанные по зависимостям (63) отношения скоростей V_0 / \dot{y} и V_0 / \dot{z} . Как видно, с увеличением угла α отношение V_0 / \dot{y} уменьшается, а отношение V_0 / \dot{z} , наоборот, увеличивается, принимая значения больше единицы. Это свидетельствует о том, что начальная скорость V_0 движения абразивного зерна всегда больше текущих значений скоростей \dot{y} и \dot{z} . Заслуживает внимания тот факт, что при $\alpha < 45^0$ значения \dot{z} не столь существенно отличаются от начальной скорости V_0 . Следовательно, запаса кинетической энергии движущегося зерна в принципе может быть достаточно для осуществления процесса стружкообразования после прохождения зерном экстремальной точки D . Иными словами, в этом случае зерно может осуществить полный срез обрабатываемого материала. В других случаях, например, при $\alpha > 45^0$ из-за недостаточной

скорости \dot{z} процесс стружкообразования может прекратиться в экстремальной точке D и полный срез обрабатываемого материала не произойдет, хотя скорость \dot{z} при этом не будет равна нулю.

Таблица 1

Расчетные значения отношения скоростей V_0 / \dot{y} и V_0 / \dot{z}

α , град	10	20	30	45	60	70	80	90
V_0 / \dot{y}	7,4	4,48	3,47	2,73	2,3	2,1	1,9	–
V_0 / \dot{z}	1,3	1,63	2,0	2,73	4,0	5,76	10,83	∞

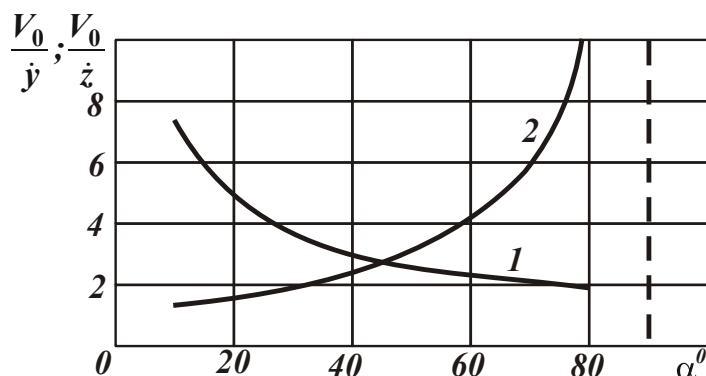


Рис. 8. Зависимости отношения скоростей V_0 / \dot{y} (1) и V_0 / \dot{z} (2) от угла α .

В момент выхода абразивного зерна из контакта с материалом (т.е. при выполнении условия $k\tau = \pi$) зависимости (27) и (28) примут вид

$$y = \frac{\pi}{k} \cdot \frac{V_0 \cdot \operatorname{tg} \alpha}{(1 + \operatorname{tg} \alpha \cdot K_{uu})}; \quad \dot{y} = \frac{2 \cdot V_0 \cdot \operatorname{tg} \alpha}{(1 + \operatorname{tg} \alpha \cdot K_{uu})}; \quad z = \frac{\pi}{k} \cdot \frac{V_0}{(1 + \operatorname{tg} \alpha \cdot K_{uu})};$$

$$\dot{z} = \frac{V_0}{(1 + \operatorname{tg} \alpha \cdot K_{uu})} \cdot (1 - \operatorname{tg} \alpha \cdot K_{uu}); \quad \frac{y}{z} = \operatorname{tg} \alpha; \quad \frac{\dot{y}}{\dot{z}} = \frac{2 \cdot \operatorname{tg} \alpha}{(1 - \operatorname{tg} \alpha \cdot K_{uu})}. \quad (35)$$

Как следует из зависимостей (68), координата y всегда меньше координаты z , а скорость \dot{y} , наоборот, может быть больше скорости \dot{z} .

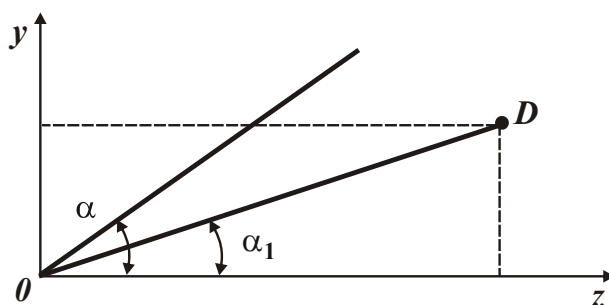


Рис. 9. Расчетная схема траектории движения абразивного зерна в обрабатываемом материале.

Для анализа траектории движения абразивного зерна в обрабатываемом материале рассмотрим характер изменения угла α_1 (рис. 9), определяющего положение абразивного зерна в произвольный момент времени (в точке D). Для этого используем зависимости (27) и (28):

$$tg\alpha_1 = \frac{y}{z} = tg\alpha \cdot \frac{\left(1 - \frac{\sin k\tau}{k\tau}\right)}{\left(1 + tg\alpha \cdot K_{uu} \cdot \frac{\sin k\tau}{k\tau}\right)}. \quad (36)$$

Как видно, с течением времени τ отношение $\sin k\tau / k\tau$ будет уменьшаться, а $tg\alpha_1$ увеличиваться. При определенном значении τ угол α_1 станет равным углу α и произойдет выход абразивного зерна из контакта с обрабатываемым материалом. Очевидно, данное условие выполнимо при $\sin k\tau = 0$, т.е. $k\tau = \pi$. Координаты точки D (рис. 9) определяются подстановкой данного условия в зависимости (27) и (28):

$$y = \frac{\pi}{k} \cdot \frac{V_0 \cdot tg\alpha}{(1 + tg\alpha \cdot K_{uu})}; \quad z = \frac{\pi}{k} \cdot \frac{V_0}{(1 + tg\alpha \cdot K_{uu})}. \quad (37)$$

В результате пришли к зависимостям (35). Из зависимостей (37) следует, что отношение $y/z = tg\alpha$ (рис. 9), т.е. расчеты выполнены правильно. Координаты y и z однозначно увеличиваются с увеличением начальной скорости движения абразивного зерна V_0 и уменьшением коэффициента k .

Установим расстояние от начала координат (рис. 9) до точки выхода зерна из обрабатываемого материала, т.е. расстояние $OD=l$:

$$l = \frac{\pi \cdot V_0}{\cos \alpha \cdot (1 + tg\alpha \cdot K_{uu})} \cdot \sqrt{\frac{m \cdot K_{uu}}{v \cdot \sigma \cdot (1 + tg\alpha \cdot K_{uu})}}. \quad (38)$$

Расстояние $OD=l$ по физической сути определяет длину риски-царапины абразивным зерном при условии образования полного среза, т.е. осуществления процесса стружкообразования на всей длине l . В противном случае риска-царапина будет равна длине пути зерна в обрабатываемом материале до момента прекращения процесса стружкообразования (расстоянию OD , показанному на рис. 6), что меньше длины l .

Исходя из зависимости (38), длина риски-царапины абразивным зерном l тем больше, чем больше параметры V_0 , m , K_{uu} и меньше v и σ . Угол входа зерна в обрабатываемый материал α неоднозначно влияет на длину l . С одной стороны, с увеличением угла α за счет уменьшения $\cos \alpha$ длина l будет увеличиваться до бесконечности (при $\alpha \rightarrow \pi/2$), рис. 10. С другой стороны, за счет увеличения функции $tg\alpha \rightarrow \infty$ при $\alpha \rightarrow \pi/2$ длина l будет уменьшаться. Следовательно, существует экстремальное значение угла α , при котором длина риски-царапины абразивным зерном l будет максимальной, а процесс струйно-абразивной обработки – наиболее эффективным с точки зрения интенсивности съема припуска.

Для определения экстремума функции l , подчиним зависимость (38) необходимому условию экстремума: $l'_\alpha = 0$. В результате после несложных вычислений приходим к тригонометрическому уравнению:

$$0,5 \cdot \sin 2\alpha + \sin^2 \alpha \cdot K_{uu} = 1,5 \cdot K_{uu}. \quad (39)$$

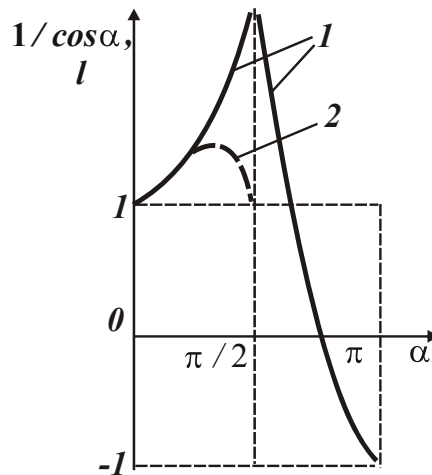


Рис. 10. Характер изменения функции $1/\cos\alpha$ (1) и длины риски-царапины абразивным зерном l (2) от угла α .

Таблица 2

Расчетные значения экстремального угла α

$K_{ин}$	0,23	0,35	0,5	0,58
α , град	20	30	45	60

В табл. 2 и на рис. 11 приведены расчетные значения экстремального угла α от коэффициента $K_{ин}$. Как видно, с увеличением $K_{ин}$ угол α увеличивается, а это, согласно зависимости (38) и рис. 10, ведет к увеличению длины риски-царапины абразивным зерном l , что способствует повышению производительности обработки. Таким образом, на основе зависимости (38) обоснованы основные условия увеличения длины риски-царапины абразивным зерном l и соответственно основные направления повышения эффективности струйно-абразивной обработки.

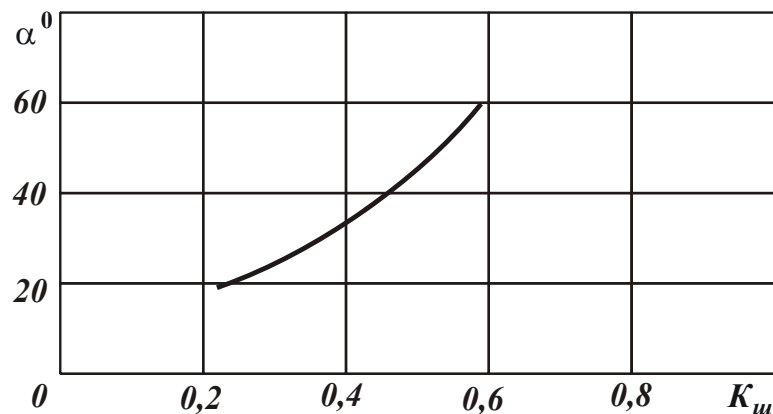


Рис. 11. Зависимость экстремального угла α от коэффициента $K_{ин}$.

Проведенный анализ справедлив для одного и того же значения условного напряжения резания σ . Однако, исходя из зависимости (31), условное напряжение резания σ в значительной мере зависит от угла α . Это вносит изменение в зависимость (38), которая после подстановки в нее зависимости (31) с учетом условия $K_{ин} = ctg\psi$ выразится

$$l = \pi \cdot V_0 \cdot \sin \psi \cdot \sqrt{\frac{m \cdot [1 - \sin(\alpha + \psi)]}{2 \cdot \tau_{\text{сдв}} \cdot \nu \cdot \sin^3(\alpha + \psi)}} \quad (40)$$

Как видно, с увеличением угла α длина риски-царапины абразивным зерном l однозначно уменьшается и при условии $(\alpha + \psi) = \pi / 2$ равна нулю. Это отличается от вышеприведенного решения, вытекающего из зависимости (38) и показанного графически на рис. 10 для случая $\sigma = \text{const}$, согласно которому длина l с увеличением угла α изменяется по экстремальной зависимости, проходя точку максимума.

Таким образом установлено, что наибольшая длина риски-царапины абразивным зерном l достигается при угле входа зерна в обрабатываемый материал $\alpha = 0$, а наибольшая глубина риски-царапины h_{max} (как показано выше) – при угле $\alpha = 16^\circ$ (для $\psi = 30^\circ$). Следовательно, наиболее благоприятные условия резания-царапания абразивными зернами обеспечиваются при относительно небольших значениях угла α . В этом случае возможно образование полного среза (т.е. полной риски-царапины) и осуществление достаточно интенсивного съема обрабатываемого материала. Причем, с увеличением условного угла трения режущего зерна с обрабатываемым материалом ψ угол α (при котором $l \rightarrow 0$ и выполняется условие $(\alpha + \psi) = \pi / 2$) уменьшается, т.е. для повышения эффективности обработки необходимо угол ψ и соответственно коэффициент трения абразивного зерна с обрабатываемым материалом уменьшать.

Данное решение получено для нулевого переднего угла режущего зерна ($\gamma = 0$). В действительности абразивное зерно имеет отрицательный передний угол и поэтому коэффициент $K_{\text{рез}}$ описывается зависимостью [4]:

$K_{\text{рез}} = \text{ctg}(\psi + \gamma)$. Тогда (32) и (40) для определения h_{max} и l примут вид

$$h_{\text{max}} = V_0 \sin \alpha \sqrt{\frac{m}{2\nu\tau_{\text{сдв}}} \left[\frac{1}{\sin(\alpha + \psi + \gamma)} - 1 \right]}; \quad l = \pi V_0 \sin(\psi + \gamma) \sqrt{\frac{m \cdot [1 - \sin(\alpha + \psi + \gamma)]}{2\tau_{\text{сдв}}\nu \sin^3(\alpha + \psi + \gamma)}} \quad (41)$$

Как следует из зависимостей (41), с увеличением отрицательного переднего угла режущего зерна γ параметры h_{max} и l уменьшаются и условие $l \rightarrow 0$ (соответствующее условию $(\alpha + \psi) = \pi / 2$) выполняется при меньших значениях угла α . Следовательно, для увеличения параметров h_{max} и l необходимо уменьшать отрицательный передний угол режущего зерна γ .

Список литературы: 1. Проволоцкий А.Е. Струйно-абразивная обработка деталей машин / А.Е. Проволоцкий. – К.: Техника, 1989. – 277 с. 2. Физико-математическая теория процессов обработки материалов и технологии машиностроения / Под общ. ред. Ф.В. Новикова и А.В. Якимова. В десяти томах. – Т. 4. "Теория абразивной и алмазно-абразивной обработки материалов" – Одесса: ОНПУ, 2002. – 802 с. 3. Андилахай А.А. Абразивная обработка деталей затопленными струями / А.А. Андилахай. – Мариуполь: ПТГУ, 2006. – 190 с. 4. Теоретические основы резания и шлифования материалов: учеб. пособие / А.В. Якимов, Ф.В. Новиков, Г.В. Новиков, Б.С. Серов, А.А. Якимов. – Одесса: ОГПУ, 1999. – 450 с.